

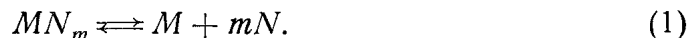
ТЕОРИЯ ПОТЕНЦИОМЕТРИЧЕСКОЙ КРИВОЙ АМАЛЬГАМЫ  
ДВУХ МЕТАЛЛОВ, ОБРАЗУЮЩИХ МЕЖДУ СОБОЙ  
РАСТВОРИМОЕ СОЕДИНЕНИЕ

А. Г. СТРОМБЕРГ, Ю. П. БЕЛОУСОВ

В статье [1] сделан вывод математических соотношений для потенциометрической кривой амальгамы двух металлов, образующих между собой малорасторимое и.м.с. в ртути.

Целью данной работы является вывод теоретического уравнения для потенциометрической кривой амальгамы двух металлов, образующих и.м.с., растворимое в ртути, исследование этого уравнения и разработка простых и надежных графических способов расчета термодинамических параметров растворимых в ртути и.м.с. любого состава.

Предположим, что металлы  $M$  и  $N$  (металл  $M$  более электроотрицательный в системе) образуют между собой в амальгаме растворимое и.м.с. состава  $MN_m$ , которое диссоциирует по уравнению<sup>1</sup>



Выражение для константы нестойкости и.м.с.  $K_n$  имеет вид

$$K_n = C_1' \cdot (C_2')^m / C_3' \text{ или } K_n (C_1 - C_1') / C_1' = [C_2 - m(C_1 - C_1')]^m, \quad (2)$$

где  $C_1$  и  $C_2$  — аналитические концентрации металлов  $M$  и  $N$  в амальгаме;  $C_2'$ ,  $C_1'$ ,  $C_3'$  — равновесные концентрации в амальгаме соответственно для  $N$ ,  $M$  и и.м.с.  $MN_m$ . При этом мы полагаем, что коэффициенты активности металлов в исследуемом интервале концентраций металла  $M$  приблизительно постоянны и вводим их в численное значение константы нестойкости  $K_n$ .

Вводим безразмерные переменные  $\alpha$  и  $\beta$ , которые связаны с непосредственно определяемыми из опыта величинами  $E$ ,  $C_1$  и  $C_2$  соотношениями:

$$\alpha = C_1'/C_1, \quad -\lg \alpha = \varepsilon = (E - E_0) z F / 2,3 RT, \quad \beta = C_2/C_1, \quad \lg \beta = \delta, \quad (3)$$

где  $E_0$  и  $E$  — эдс концентрационной амальгамной цепи соответственно при отсутствии и наличии в амальгаме металла  $N$ ,  $z$  — число электронов, участвующих в потенциалоопределяющей электродной реакции.

Подставляя значения  $\alpha$  и  $\beta$  из соотношений (3) в выражение (2), получим уравнение потенциометрической кривой амальгамы двух металлов, образующих между собой растворимое в ртути и.м.с.

$$B(1 - \alpha)/\alpha = [1 - m(1 - \alpha)/\beta]^m, \quad (4)$$

<sup>1</sup> Если и. м. с. имеет состав  $M_a N_b$ , то его нужно представить в виде  $MN_m$ , где  $m = \theta/a$ .

где

$$B = K_{\text{н}} / C_2^m. \quad (5)$$

Преимущество данного уравнения (4) в том, что оно не зависит от зарядности иона  $M^{z+}$ , от абсолютных величин концентраций  $C_1$ ,  $C_2$  и  $\bar{C}_1$  ( $\bar{C}_1$  — концентрация металла  $M$  во вспомогательном электроде). Зная концентрацию  $C_2$  и параметры  $m$  и  $B$ , по формуле (5) можно легко вычислить константу нестойкости и.м.с.  $K_{\text{н}}$ .

Мы предлагаем математическое исследование уравнения (4) проводить в безразмерных переменных  $\alpha$  и  $\beta$ , а графическую интерпретацию делать на графике в безразмерных координатах  $\varepsilon$ ,  $\delta$ . Такая двойная система обозначений на ее кажущуюся, на первый взгляд, сложность является оправданной. Подстановка переменных  $\varepsilon$  и  $\delta$  непосредственно в уравнение (4) приводит к излишней его сложности, а изображение графика непосредственно в координатах  $\alpha$  и  $\beta$  неудобно тем, что данные переменные на протяжении потенциометрической кривой меняются на несколько порядков.

Перейдем к исследованию уравнения (4) потенциометрической кривой. При  $\beta \rightarrow \infty$  ( $\delta \rightarrow \infty$ ) получим

$$B(1 - \alpha_\infty)/\alpha_\infty = 1, \quad \alpha_\infty = \frac{B}{B+1},$$

(6)

$$\varepsilon_\infty = \lg(B+1)/B.$$

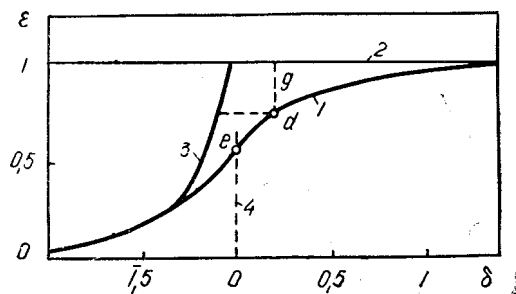


Рис. 1. Теоретическая потенциометрическая кривая (кривая 1) для растворимого и.м.с. состава  $MN_m$  ( $m=1$ ), рассчитанная по формуле (5) при численном значении величины  $B=0,1$ ; кривые 2 и 3 — верхняя и левая предельные ветви кривой, вычисленные по формулам (6) и (7), 4 — асимптота левой предельной ветви

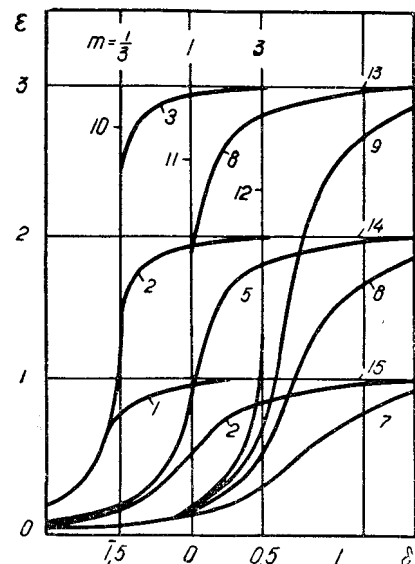


Рис. 2. Теоретические потенциометрические кривые (1—9) для девяти растворимых в ртути и.м.с. при трех значениях параметра  $m$  ( $1/3$ ,  $1$  и  $3$ ) и при трех значениях параметра  $B$  ( $0,1$ ,  $0,01$  и  $0,001$ ), вычисленные по формуле (4). Кривые  $10$ — $12$  — три левые и прямые  $13$ — $15$  — три верхние предельные ветви кривых. Прямые  $16$ — $18$  — асимптоты левых предельных ветвей. Пунктиром указаны равновеликие отклонения от точки на кривой до левой и верхней предельных ветвей

Таким образом, при  $\delta \rightarrow \infty$  значение  $\varepsilon$  стремится к некоторому предельному значению  $\varepsilon_\infty$ . На графике в координатах  $\varepsilon$ ,  $\delta$  (рис. 1) это предельное значение  $\varepsilon_\infty$  изображается горизонтальной прямой 2 (верхняя предельная ветвь). Из выражения (6) видно, что  $\varepsilon_\infty$  зависит только от параметра  $B$  и не зависит от параметра  $m$ . Поэтому графическая оценка предельного значения  $\varepsilon_\infty$  может служить для определения параметра  $B$ .

При  $\alpha \rightarrow 1$  ( $\varepsilon \rightarrow 0$ ) величина  $(1 - \alpha) \rightarrow 0$  и, следовательно, из формулы (4) получаем уравнение левой предельной ветви (кривая 3 на

рис. 1), к которой приближается потенциометрическая кривая на графике  $\varepsilon$ ,  $\delta$  при малых  $\varepsilon$ .

$$\beta' = m(1 - \alpha'); \quad \delta' = \lg(1 - \alpha') + \lg m. \quad (7)$$

При  $\alpha \rightarrow 0$  ( $\varepsilon \rightarrow \infty$ ) левая предельная ветвь асимптотически приближается к значению  $\lim(\delta')_{\varepsilon \rightarrow \infty} = \lg m$ . Таким образом, положение асимптоты 4 на графике позволяет определить параметр  $m$ . На рис. 2 в координатах  $\varepsilon$ ,  $\delta$  представлено девять теоретических кривых, вычисленных по уравнению (5) для трех значений параметра  $B$  и трех значений  $m$ .

Сравнение с предыдущей статьей [1] показывает, что графики  $\varepsilon$ ,  $\delta$  для растворимого и малорастворимого в ртути и. м. с. существенно различаются между собой и могут, таким образом, служить критерием для выяснения фазовой природы и. м. с. Если кривая на графике  $\varepsilon$ ,  $\delta$  с ростом  $\delta$  стремится к некоторому предельному значению, то это признак растворимого в ртути и. м. с. Если кривая с ростом  $\delta$  проходит через максимум и вновь приближается к оси абсцисс, то это признак малорастворимого в ртути и. м. с.<sup>2</sup>. Отметим следствия из уравнения (5) потенциометрической кривой и графика в координатах  $\varepsilon$ ,  $\delta$ . Для эквивалентной точки имеем  $C_2 = mC_1$  и  $\beta = m$  ( $\delta = \lg m$ ), при этом из уравнения (5) получим выражение

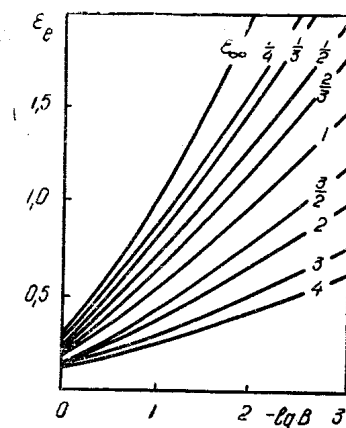


Рис. 3. Теоретический график в координатах  $\varepsilon_e$ ,  $-\lg B$  при разных значениях параметра  $m$ , рассчитанный по формуле (8). На графике приведены также зависимости  $\varepsilon_\infty$  от  $-\lg B$  в соответствии с формулой (6)

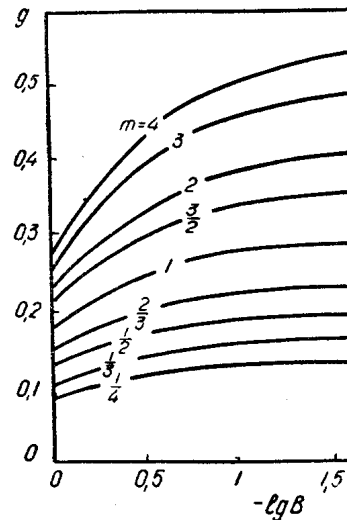


Рис. 4. Теоретический график в координатах  $g$ ,  $-\lg B$  при разных значениях параметра  $m$ , рассчитанный по формуле (9). Пунктирными горизонтальными линиями на графике указаны предельные значения  $g$  при малых значениях параметра  $B$ . Пунктирная прямая 5 указывает граничное значение  $-\lg g$ , при котором  $g$  становится практически постоянной величиной

симум и вновь приближается к оси абсцисс, то это признак малорастворимого в ртути и. м. с.<sup>2</sup>. Отметим следствия из уравнения (5) потенциометрической кривой и графика в координатах  $\varepsilon$ ,  $\delta$ . Для эквивалентной точки имеем  $C_2 = mC_1$  и  $\beta = m$  ( $\delta = \lg m$ ), при этом из уравнения (5) получим выражение

$$\alpha_e^{m+1} = B(1 - \alpha_e) \text{ или } (m+1)\varepsilon_e = -\lg B - \lg(1 - \alpha_e). \quad (8)$$

Из графика рис. 1 видно, что эквивалентная точка  $E$  находится на пересечении кривой 1 с асимптотой 4 предельной ветви 3. График в координатах  $\varepsilon_e$  —  $-\lg B$  при разных значениях параметра  $m$ , рассчитанный по формуле

<sup>2</sup> На различие форм потенциометрической кривой (на графике в координатах  $E$ ,  $\lg C_1/C_1$ ) для растворимого и малорастворимого и. м. с. для частного случая  $m=1$  было впервые указано в работе [2].

ле (8), представлен на рис. 3. Из графика видно, что по величине ординаты  $\epsilon_e$  в эквивалентной точке, зная параметр  $m$ , можно определить параметр  $B$ .

На кривой 1 (рис. 1) есть точка  $D$ , в которой отклонения от обеих предельных ветвей одинаковы и равны  $g$ . Это отклонение в соответствии с уравнением (4) связано с параметрами  $B$  и  $m$  соотношением

$$B = \frac{1/a - [(a-1)/a]^m}{[(a-1)/a]}, \quad (9)$$

где

$$g = \lg a.$$

На рис. 4 приведен график в координатах  $g$ ,  $-\lg B$  при разных значениях параметра  $m$ , рассчитанный по уравнению (9). При достаточно малых значениях параметра  $B$  (при больших значениях  $-\lg B$ ) равновеликое отклонение  $g$  становится постоянным для каждого  $m$ . Таким образом, определив величину  $g$  на опытном графике в координатах  $\epsilon$ ,  $\delta$ , можно найти приблизительные значения  $m$  и  $B$  или  $K_n$ .

#### ЛИТЕРАТУРА

1. А. Г. Стромберг, Б. П. Белоусов. «Электрохимия», 1973, № 3.
  2. А. И. Зебрева. Труды института химических наук АН КазССР, 15, (54, 1967).
-